

Núcleos clásicos
Tiempo Discreto
Invertibilidad
Análisis Tiempo–Frecuencia

IIE

¹Facultad de Ingeniería Universidad de la República

June 1, 2017

- 1 Representaciones de la Clase
 - Reducción de interferencia
 - Con Interpretación Física
 - Núcleos Dependientes de la Frecuencia
- 2 Tiempo Discreto
 - Sobremuestreo
 - Invertibilidad
 - Separación - Filtrado de Wiener
- 3 Otros Kernels
 - Dependencia tiempo–frecuencia

Contenido

- 1 Representaciones de la Clase
 - Reducción de interferencia
 - Con Interpretación Física
 - Núcleos Dependientes de la Frecuencia
- 2 Tiempo Discreto
 - Sobremuestreo
 - Invertibilidad
 - Separación - Filtrado de Wiener
- 3 Otros Kernels
 - Dependencia tiempo-frecuencia

Choi–Williams

Núcleo gaussiano

$$\varphi(\theta, \tau) = e^{\theta^2 \tau^2 / \sigma}$$

Donde σ es un parámetro que controla qué tanto se reduce la interferencia. σ chico reduce interferencia, σ grande se acerca a Wigner.

Zhao-Atlas-Marks

$$\varphi(\theta, \tau) = f(\theta, \tau) \sin a\theta\tau$$

Se puede probar que si hay dos componentes, el peso de la interferencia depende de $f(\omega_1 - \omega_2, \tau)$

La elección de f permite elegir qué otras propiedades se desea cumplir. Si se toma

$$\varphi_{ZAM}(\theta, \tau) = g(\tau) |\tau| \frac{\sin a\theta\tau}{a\theta\tau}$$

permite representar simultáneamente bien, tonos y cambios relativamente bruscos entre ellos.

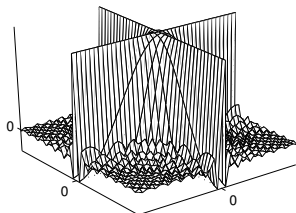
Born-Jordan

$$\varphi(\theta, \tau) = \frac{\sin a\theta\tau}{a\theta\tau}$$

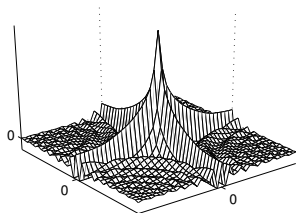
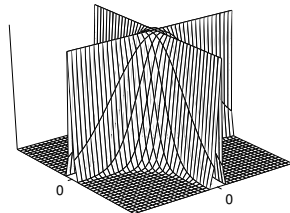
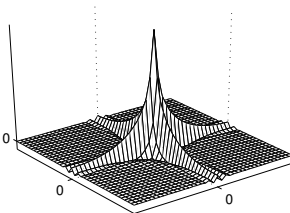
Es un seno cardinal, por lo que en el dominio dual, corresponde a una convolución con un rectángulo.

El peso de la interferencia de dos componentes es $K(\omega) = 1/(\omega_2 - \omega_1)$

Born–Jordan

 $\phi(\theta, \tau)$

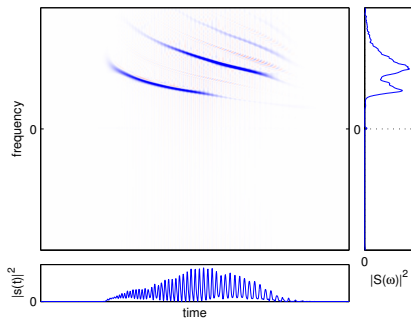
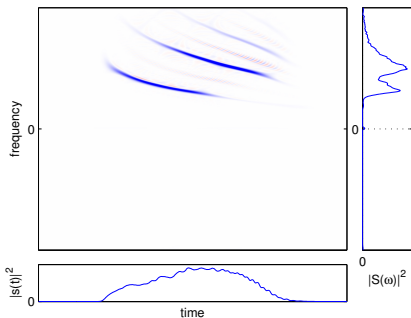
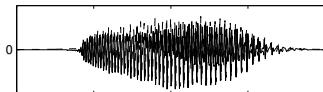
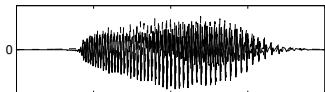
Choi–Williams

 $g(t, \omega)$ 

Ejemplo: Choi–Williams vs. SPWD

SPWD

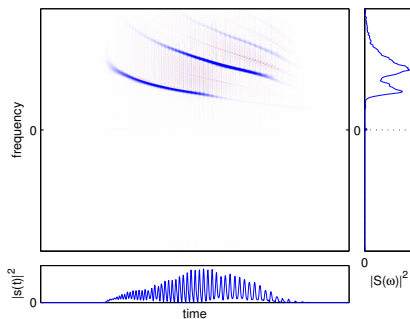
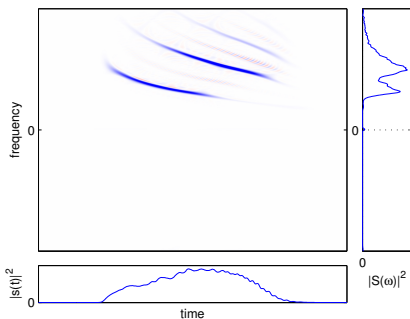
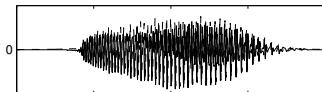
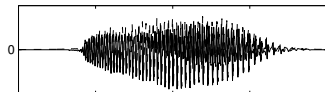
Choi–Williams



Ejemplo: Born–Jordan vs. SPWD

SPWD

Born–Jordan



Contenido

- 1 Representaciones de la Clase
 - Reducción de interferencia
 - **Con Interpretación Física**
 - Núcleos Dependientes de la Frecuencia
- 2 Tiempo Discreto
 - Sobremuestreo
 - Invertibilidad
 - Separación - Filtrado de Wiener
- 3 Otros Kernels
 - Dependencia tiempo–frecuencia

Espectro de energía compleja

Motivado por un modelo eléctrico de potencia

Si la señal es la tensión:

$$V(t) = \frac{1}{\sqrt{2\pi}} \int V_{\omega} e^{j\omega t} d\omega$$

circulando por una resistencia de 1 ohm, la energía en tiempo frecuencia queda:

$$E(t, \omega) = \int_t^{t+\Delta t} V(t) i^*(t) dt$$

En el límite

$$e(t, \omega) = \frac{1}{\sqrt{2\pi}} s(t) S^*(\omega) e^{-j\omega t}$$

Satisface lo marginales pero no tiene otras propiedades interesantes.

Contenido

- 1 Representaciones de la Clase
 - Reducción de interferencia
 - Con Interpretación Física
 - Núcleos Dependientes de la Frecuencia
- 2 Tiempo Discreto
 - Sobremuestreo
 - Invertibilidad
 - Separación - Filtrado de Wiener
- 3 Otros Kernels
 - Dependencia tiempo-frecuencia

Núcleos dependientes de la Frecuencia

Ejemplo:

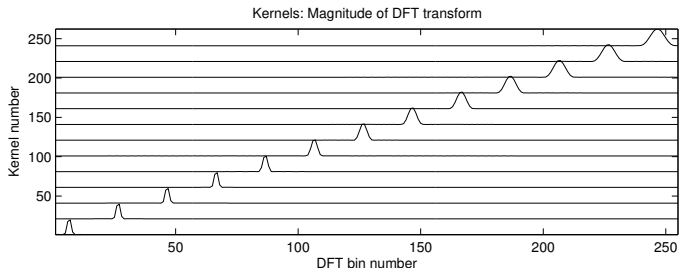
Transformada Q constante.

Posibles implementaciones:

- CQT
- MRFFT - Por bandas constante a trozos
- IIR-CQT - Filtro variante en el tiempo

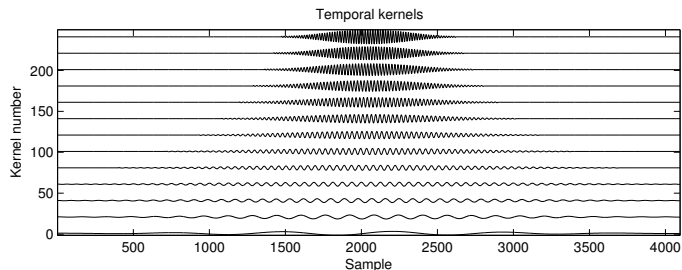
Núcleos dependientes de la Frecuencia - CQT

Ventanas de la CQT para distintas frecuencias en el dominio de frecuencia.



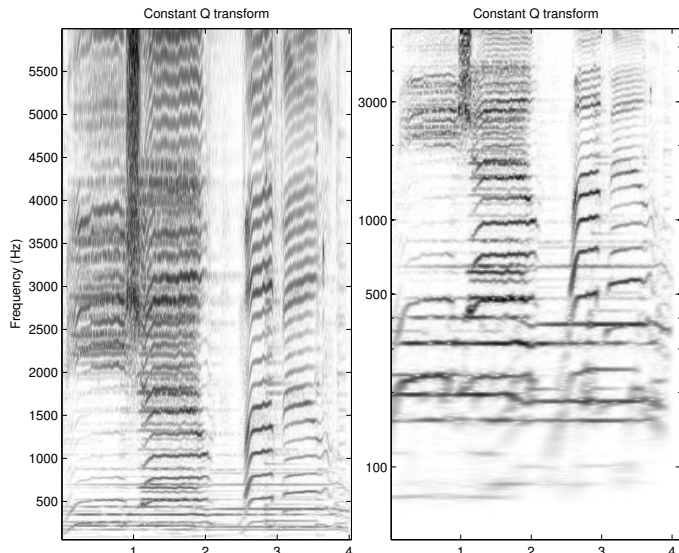
Núcleos dependientes de la Frecuencia - CQT

Ventanas de la CQT para distintas frecuencias en el dominio del tiempo



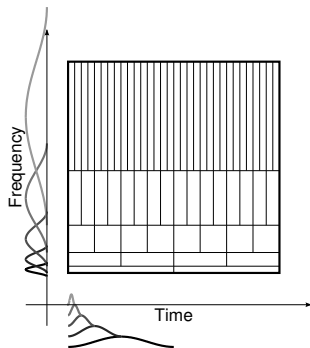
Núcleos dependientes de la Frecuencia - CQT

Comparación STFT con CQT.



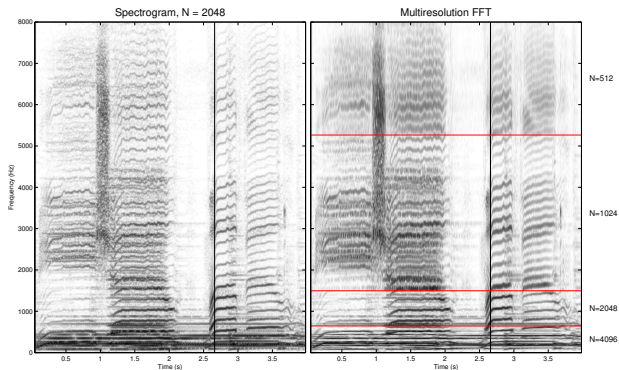
Núcleos dependientes de la Frecuencia - MRFFT

Implementación eficiente para calcular un conjunto discreto de ventanas en distintas zonas del espectro.



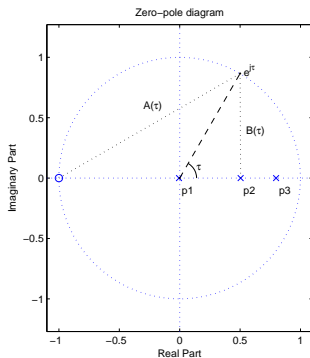
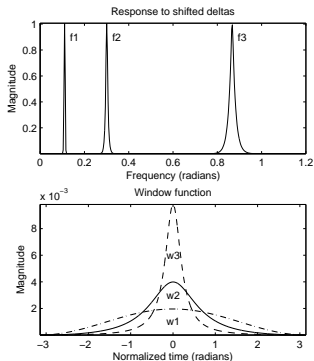
Núcleos dependientes de la Frecuencia - MRFFT

Comparación STFT con la MRFFT.

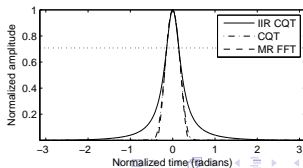
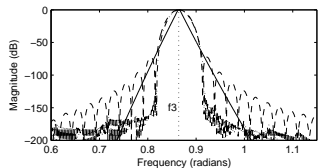
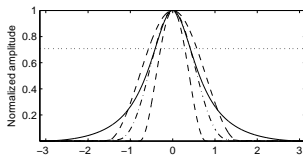
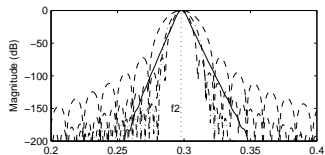
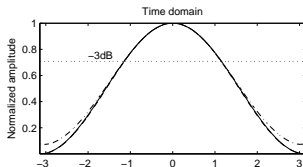
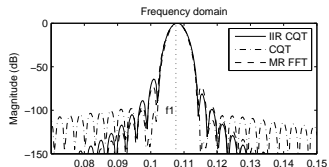


Núcleos dependientes de la Frecuencia - IIR-CQT

IIR-CQT, se basa en hacer un filtrado variante en el tiempo, haciendo cambiar el polo de un filtro de primer orden.

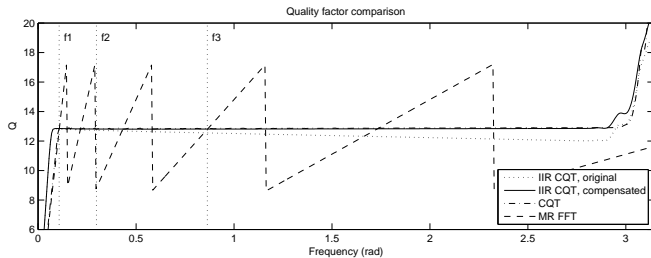


Comparación de las ventanas utilizadas



Núcleos dependientes de la Frecuencia

Comparación y limitantes en baja y alta frecuencia.



Contenido

- 1 Representaciones de la Clase
 - Reducción de interferencia
 - Con Interpretación Física
 - Núcleos Dependientes de la Frecuencia
- 2 Tiempo Discreto
 - Sobremuestreo
 - Invertibilidad
 - Separación - Filtrado de Wiener
- 3 Otros Kernels
 - Dependencia tiempo-frecuencia

Implementaciones Discretas - Zero Padding

Aumenta el muestreo en el eje de la frecuencia.

Es útil:

- si se utilizan ventanas de tiempo largo y se necesita encontrar el pico la densidad en una frecuencia que no coincide con los bins.
- puede mejorar la visualización.

Ejemplo de aplicación: componentes de baja frecuencia en música polifónica.

Implementaciones Discretas - Hop pequeño

Hop pequeño:

Aumenta el muestreo en el eje del tiempo. Es útil si se desea encontrar el pico de un evento muy bien definido en el tiempo.

Ejemplo de aplicación: localización de eventos percutivos.

Contenido

- 1 Representaciones de la Clase
 - Reducción de interferencia
 - Con Interpretación Física
 - Núcleos Dependientes de la Frecuencia
- 2 **Tiempo Discreto**
 - Sobremuestreo
 - **Invertibilidad**
 - Separación - Filtrado de Wiener
- 3 Otros Kernels
 - Dependencia tiempo–frecuencia

Implementaciones Discretas - Invertibilidad

No es verdad en general que sea posible recuperar $s(t)$ a partir de la distribución muestreada.

La redundancia en general no es suficiente y es un problema no invertible.

Manteniendo la fase, es posible realizar la inversión sin demasiada redundancia.

Implementaciones Discretas - Invertibilidad

Técnica clásica de representación STFT invertible:

- Ventana de Hann
- Solapamiento 50%
- Conservando la fase (no el módulo al cuadrado)

Es invertible casi de manera trivial (Overlap-Add) y se puede recuperar la señal original.

No toda distribución corresponde a una señal, podría ser incompatible dado que hay redundancia. Es necesario elegir un criterio de costo a minimizar al realizar la inversión (debería ser cero si corresponde a un espectrograma válido).

Contenido

- 1 Representaciones de la Clase
 - Reducción de interferencia
 - Con Interpretación Física
 - Núcleos Dependientes de la Frecuencia
- 2 Tiempo Discreto
 - Sobremuestreo
 - Invertibilidad
 - Separación - Filtrado de Wiener
- 3 Otros Kernels
 - Dependencia tiempo-frecuencia

Manipulaciones clásicas - Filtrado de Wiener

Una aplicación típica es aislar una componente de una mezcla.
Si se define una máscara $W[n,m]$ que tome valor 1 en las posiciones de tiempo–frecuencia en las que está la señal.
Se estima un nuevo espectrograma:

$$S_W[n, m] = S[n, m].W[n, m]$$

Criterios para la reconstrucción:

Es probable que S_W no corresponda a un espectrograma, pero funciona relativamente bien Overlap–Add. ¿Otros criterios a minimizar?

Existen artículos que proponen otras reconstrucciones.

Ejemplo: “Consistent Wiener filtering for audio source separation”
Jonathan Le Roux, Emmanuel Vincent

Manipulaciones clásicas - Filtrado de Wiener

¿Cómo se determina la máscara $W[n,m]$? Ejemplo señal contaminada con ruido con potencia σ^2

Estimación de la densidad de energía por uno de los métodos vistos
 $E[n, m]$

$$W[n, m] = \frac{E_x[n, m]}{E_x[n, m] + \sigma^2}$$

Una forma clásica:

- Estimación de la densidad de energía de la componente a aislar en un cierto (t, ω) , $E_x[n, m]$
- Estimación de la densidad de energía por uno de los métodos vistos $E[n, m]$

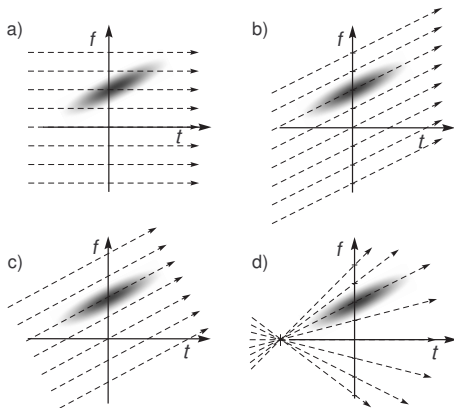
$$W[n, m] = f(E_x[n, m], E[n, m])$$

Donde f es una función (no lineal) que toma valores cercanos a 1 cuando $E_x[n, m] \approx E[n, m]$ y valores cercanos a 0 cuando $E_x[n, m] \ll E[n, m]$.

Contenido

- 1 Representaciones de la Clase
 - Reducción de interferencia
 - Con Interpretación Física
 - Núcleos Dependientes de la Frecuencia
- 2 Tiempo Discreto
 - Sobremuestreo
 - Invertibilidad
 - Separación - Filtrado de Wiener
- 3 Otros Kernels
 - Dependencia tiempo-frecuencia

Marginales sobre líneas rectas



a) Fourier, b) Chirp, c) Fractional Fourier, y d) Fan-Chirp
 Estudiaremos algunas de estas representaciones, en particular con aplicaciones de representación de señales casi periódicas.